

## ВОЗДЕЙСТВИЕ НЕСТАЦИОНАРНЫХ ТЕПЛОВЫХ ИСТОЧНИКОВ НА УПРУГОЕ ПОЛУПРОСТРАНСТВО

**А.Э.Бабаев**, *д.т.н., главный научный сотрудник Института механики  
им. С.П. Тимошенко НАН Украины; 03057, Украина, Киев, ул. Нестерова 3,  
тел.: (+38044) 454-7774*

**А.В.Богданов**, *ассистент кафедры акустики и акустоэлектроники Национального  
Технического Университета Украины «КПИ»; 03056, Украина, Киев,  
ул. Политехническая 16, корп. 12, тел.: (+38044) 454-9072; e-mail: bogdanov\_o@ua.fm.*

Рассмотрены плоские задачи нестационарного возбуждения упругого полупространства тепловыми источниками. Их постановки выполнены в рамках теории несвязанной термоупругости для случаев, когда источники равномерно распределены в продольном (ось  $x$  вдоль границы полупространства) направлении, и когда они локализованы в слое  $-a \leq x \leq a$ . Разработан метод решения указанных задач, проведен расчет характеристик переходного процесса и сделан их анализ.

### ВВЕДЕНИЕ

В подавляющем большинстве, имеющихся к настоящему времени работ по проблемам термоупругости, исследовались периодические во времени процессы, в том числе с учетом усложненных моделей [1, 2]. Не смотря на значительные достижения в этой области механики сплошных сред, закономерности распределения температурных и волновых полей, возбуждаемых внутренними нестационарными тепловыми источниками, остаются практически не исследованными. Задачи данного класса моделируют волновые поля в упругих телах, возникающие при действии на них лазерного излучения (термооптическая генерация звуковых волн [3]).

### 1. РАВНОМЕРНО РАСПРЕДЕЛЕННЫЕ ИСТОЧНИКИ ВДОЛЬ ПРОДОЛЬНОЙ КООРДИНАТЫ

Рассматривается упругое полупространство, на которое, с момента времени  $t = 0$ , действует нормальный к границе  $z = 0$  ( $z$  – декартова координата), лазерный поток, бесконечный в продольном направлении. Возбуждаемое им поле тепловых источников имеет удельную мощность  $w_0 = 0,5I_0 \beta e^{-\beta z} f(t)$  [3], где  $I_0$  – амплитуда интенсивности внешнего воздействия,  $f(t)$  – функция, определяющая закон его изменения во времени,  $\beta$  – коэффициент оптического поглощения вещества.

Приведенная ниже постановка задачи выполнена с использованием следующих безразмерных обозначений (они отмечены волной):  $\tilde{z} = \beta z$ ,  $\tilde{t} = \beta v t$ ,  $\tilde{\theta} = \alpha \theta$ ,  $\tilde{u}_z = \beta u_z$ ,  $\tilde{\sigma}_{zz} = \sigma_{zz} / C^T$ , где  $\theta(z, t)$  – разница температур точек полупространства в возмущенном и невозмущенном состояниях;  $\alpha$  – коэффициент линейного теплового расширения;  $u_z(z, t)$  и  $\sigma_{zz}(z, t)$  – возникающие в среде перемещения и напряжения;  $v = \sqrt{(\lambda + 2\mu) / \rho}$  – скорость распространения упругой волны сжатия ( $\lambda$  и  $\mu$  – коэффициенты Ламе,  $\rho$  – плотность материала);  $C^T = \lambda + 2\mu$ .

Исходная система уравнений (теплопроводности и движения упругой среды) имеет вид [1]:

$$\frac{\partial^2 \tilde{\theta}}{\partial \tilde{z}^2} - A_1 \frac{\partial \tilde{\theta}}{\partial \tilde{t}} = A_2 f(\tilde{t}) e^{-\tilde{z}}, \quad (1)$$

$$\frac{\partial^2 \tilde{u}_z}{\partial \tilde{z}^2} - \frac{\partial^2 \tilde{u}_z}{\partial \tilde{t}^2} = \eta \frac{\partial \tilde{\theta}}{\partial \tilde{z}}; \quad (2)$$

где  $A_1 = \nu/(\beta\chi)$ ,  $A_2 = -(\alpha I_0)/(2\beta\kappa)$ ;  $\eta = B^*/C^T$ ,  $B^* = 3\lambda + 2\mu$ ,  $C^T = \lambda + 2\mu$ ;  $\chi$  и  $\kappa$  – коэффициенты температуропроводности и теплопроводности, соответственно.

Нормальное напряжение  $\tilde{\sigma}_{zz}(\tilde{z}, \tilde{t})$  выражается через  $\tilde{u}_z(\tilde{z}, \tilde{t})$  и  $\tilde{\theta}(\tilde{z}, \tilde{t})$  зависимостью

$$\tilde{\sigma}_{zz} = \frac{\partial \tilde{u}_z}{\partial \tilde{z}} - \eta \tilde{\theta}. \quad (3)$$

Граница  $\tilde{z} = 0$  предполагается термоизолированной (тепловой поток равен нулю) и свободной от напряжений (незакрепленной).

Задача решается с использованием интегрального преобразования Лапласа по времени. После интегрирования в пространстве изображений неоднородного уравнения теплопроводности (1) и удовлетворения граничному условию  $\left. \frac{\partial \tilde{\theta}^L}{\partial \tilde{z}} \right|_{\tilde{z}=0} = 0$ , получим

следующее представление искомой функции  $\tilde{\theta}^L(\tilde{z}, p)$ :

$$\tilde{\theta}^L(\tilde{z}, p) = \frac{A_2}{A_1} f^L(p) G_1^L(\tilde{z}, p). \quad (4)$$

Здесь

$$G_1^L(\tilde{z}, p) = \frac{1}{\sqrt{A_1}} \frac{e^{-\tilde{z}\sqrt{pA_1}}}{\sqrt{p(p-1/A_1)}} - \frac{e^{-\tilde{z}}}{p-1/A_1}, \quad (5)$$

индексом  $L$  обозначены соответствующие трансформанты;  $p$  – параметр преобразования.

Общее решение преобразованного по Лапласу уравнения (2) после удовлетворения граничному условию  $\left. \tilde{\sigma}^L \right|_{\tilde{z}=0} = 0$ , принимает вид:

$$\tilde{u}_z^L(\tilde{z}, p) = \frac{\eta A_2}{A_1^2 - 1} f^L(p) \sum_{k=1}^5 F_k^L(\tilde{z}, p). \quad (6)$$

Ниже приведены принятые в (2.3) обозначения:

$$F_1^L(\tilde{z}, p) = -A_1 G_1^L(\tilde{z}, p), \quad F_2^L(\tilde{z}, p) = \frac{e^{-\tilde{z}\sqrt{pA_1}}}{p(p-A_1)} - \frac{e^{-\tilde{z}p}}{\sqrt{pA_1}(p-A_1)},$$

$$F_3^L(\tilde{z}, p) = \frac{\sqrt{A_1} e^{-\tilde{z}\sqrt{pA_1}}}{p(\sqrt{p+1}/\sqrt{A_1})} - \frac{e^{-\tilde{z}p}}{\sqrt{p}(\sqrt{p+1}/\sqrt{A_1})}, \quad F_4^L(\tilde{z}, p) = -\frac{e^{-\tilde{z}}}{p^2-1} + \frac{p e^{-\tilde{z}p}}{p^2-1},$$

$$F_5^L(\tilde{z}, p) = -A_1 \left[ \frac{pe^{-\tilde{z}}}{p^2 - 1} - \frac{e^{-\tilde{z}p}}{p^2 - 1} \right]. \quad (7)$$

Основная трудность при решении данной задачи состоит в обращении искомым величин. Оригиналы слагаемых функций  $G_1^L$ ,  $F_1^L - F_5^L$  при увеличении  $\tilde{z}$  и  $\tilde{t}$  экспоненциально возрастают. Расчет искомым характеристик в точках, даже незначительно удаленных от границы  $\tilde{z} = 0$ , при раздельном определении числовых значений каждого из слагаемых становится практически неосуществимым (происходит потеря точности вычислений и переполнение разрядной сетки компьютера). Поэтому компоненты общих решений сгруппированы попарно таким образом, что оригиналы этих комбинаций ( $G_1^L$ ,  $F_1^L - F_5^L$ ) не имеют стремительного роста при любых значениях  $\tilde{z}$  и  $\tilde{t}$ . Их инверсия выполнена с использованием справочных данных [4].

В качестве примера, приведен оригинал функции  $G_1$ :

$$\begin{aligned} G_1(\tilde{z}, \tilde{t}) = & 0,5 e^{-\tilde{z} + \tilde{t}/A_1} \operatorname{erfc}\left(-\sqrt{\tilde{t}/A_1} + \tilde{z}/2\sqrt{A_1/\tilde{t}}\right) H(\tilde{z}A_1/2 - \tilde{t}) - \\ & - 0,5 e^{-\tilde{z} + \tilde{t}/A_1} \operatorname{erfc}\left(\sqrt{\tilde{t}/A_1} - \tilde{z}/2\sqrt{A_1/\tilde{t}}\right) H(\tilde{t} - \tilde{z}A_1/2) - \\ & - 0,5 e^{\tilde{z} + \tilde{t}/A_1} \operatorname{erfc}\left(\sqrt{\tilde{t}/A_1} + \tilde{z}/2\sqrt{A_1/\tilde{t}}\right) - e^{-\tilde{z} + \tilde{t}/A_1} H(\tilde{z}A_1/2 - \tilde{t}) \end{aligned} \quad (8)$$

Температура  $\tilde{\theta}(\tilde{z}, \tilde{t})$  и перемещения  $\tilde{u}_z(\tilde{z}, \tilde{t})$  после обращения равенств (5) и (6) представимы в виде интегралов Дюамеля:

$$\tilde{\theta}(\tilde{z}, \tilde{t}) = \frac{A_2}{A_1} \int_0^{\tilde{t}} f(\tau) G_1(\tilde{z}, \tilde{t} - \tau) d\tau; \quad (8)$$

$$\tilde{u}_z(\tilde{z}, \tilde{t}) = \frac{\eta A_2}{A_1^2 - 1} \int_0^{\tilde{t}} f(\tau) \sum_{k=1}^5 F_k(\tilde{z}, \tilde{t} - \tau) d\tau; \quad (9)$$

Аналогично определяются тепловой поток  $\frac{\partial \tilde{\theta}(\tilde{z}, \tilde{t})}{\partial \tilde{z}}$  и напряжения  $\tilde{\sigma}_{zz}(\tilde{z}, \tilde{t})$ .

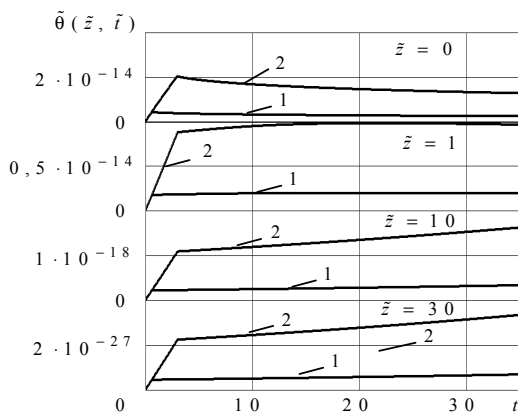


Рис. 1

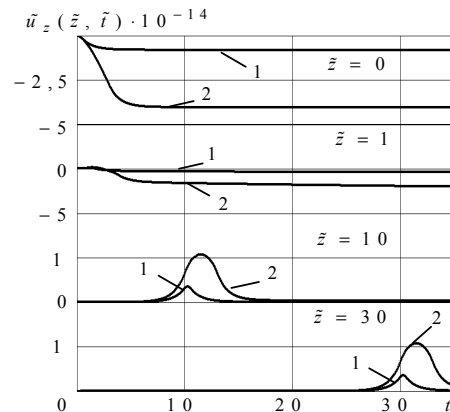


Рис. 2

На рис. 1 приведен график распределения температуры, а на рис. 2 — распределения перемещений по глубине полупространства.

В качестве материала упругого полупространства используется кремний, для которого [5]  $\alpha = 2,33 \cdot 10^{-6}$  м/град,  $\beta = 1,2 \cdot 10^6$  м<sup>-1</sup>,  $\chi = 8,8 \cdot 10^{-5}$  град/с,  $\kappa = 156$  Вт/м,  $E = 10^{11}$  Па,  $\nu = 8,43 \cdot 10^3$  м/с. Приведенные результаты соответствуют случаю, когда мощность внутренних источников изменяется во времени по закону  $f(\tilde{t}) = H(\tilde{t}) - H(\tilde{t} - \tilde{t}_0)$ , при  $\tilde{t}_0 = 0,6$  (кривая 1) и  $\tilde{t}_0 = 3$  (кривая 2) — лазерный поток прямоугольного профиля с амплитудой интенсивности  $I_0 = 10^2$  Вт/м<sup>2</sup>.

## 2. РАВНОМЕРНО РАСПРЕДЕЛЕННЫЕ ИСТОЧНИКИ В ИНТЕРВАЛЕ ВДОЛЬ ПРОДОЛЬНОЙ КООРДИНАТЫ

В данной задаче рассматривается действие на упругое полупространство ограниченного лазерного потока. В результате его воздействия в упругом полупространстве будут возникать как продольные, так и поперечные упругие волны.

Исходная система уравнений, с использованием приведенных выше безразмерных величин, имеет вид:

$$\frac{\partial^2 \tilde{\theta}}{\partial \tilde{z}^2} + \frac{\partial^2 \tilde{\theta}}{\partial \tilde{x}^2} - A_1 \frac{\partial \tilde{\theta}}{\partial \tilde{t}} = A_2 f(\tilde{t}) H(a - |\tilde{x}|) e^{-\tilde{z}}, \quad (10)$$

$$\begin{cases} \frac{\partial^2 \Phi}{\partial \tilde{x}^2} + \frac{\partial^2 \Phi}{\partial \tilde{z}^2} - \frac{\partial^2 \Phi}{\partial \tilde{t}^2} = \eta \tilde{\theta}, \\ \frac{\partial^2 \Psi}{\partial \tilde{x}^2} + \frac{\partial^2 \Psi}{\partial \tilde{z}^2} - \frac{1}{\tilde{c}_2^2} \frac{\partial^2 \Psi}{\partial \tilde{t}^2} = 0; \end{cases} \quad (11)$$

где  $\Phi$  и  $\Psi$  безразмерные потенциалы волн сжатия и сдвига, соответственно, они связаны с перемещениями упругой среды зависимостями  $\tilde{u}_z = \frac{\partial \Phi}{\partial \tilde{z}} + \frac{\partial \Psi}{\partial \tilde{x}}$  и  $\tilde{u}_x = \frac{\partial \Phi}{\partial \tilde{x}} - \frac{\partial \Psi}{\partial \tilde{z}}$  [6];

$\tilde{c}_2 = \sqrt{\mu/C^T}$  — безразмерная скорость сдвиговой волны. Механические напряжения определяются выражениями:

$$\begin{cases} \tilde{\sigma}_{xx} = \frac{\partial \tilde{u}_x}{\partial \tilde{x}} + \frac{\lambda}{C^T} \frac{\partial \tilde{u}_z}{\partial \tilde{z}} - \eta \tilde{\theta}, \\ \tilde{\sigma}_{zz} = \frac{\lambda}{C^T} \frac{\partial \tilde{u}_x}{\partial \tilde{x}} + \frac{\partial \tilde{u}_z}{\partial \tilde{z}} - \eta \tilde{\theta}, \\ \tilde{\sigma}_{xz} = \frac{\mu}{C^T} \left( \frac{\partial \tilde{u}_x}{\partial \tilde{z}} + \frac{\partial \tilde{u}_z}{\partial \tilde{x}} \right). \end{cases} \quad (12)$$

В рассматриваемом случае на границе полупространства  $\tilde{z} = 0$ , к приведенным выше граничным условиям, добавляется условие равенства нулю касательных напряжений.

Общее решение уравнения теплопроводности, с применением интегральных преобразований Лапласа по времени и Фурье по пространственной координате  $\tilde{x}$ , удается получить аналитически. Его трансформанта (она обозначена индексом  $LF$ ) определяется формулой:

$$\tilde{\theta}^{LF} = f^L A_2 \frac{\sin \lambda a}{\lambda} \left\{ \frac{e^{-\tilde{z}\sqrt{A_1 p + \lambda^2}}}{\sqrt{A_1 p + \lambda^2} [A_1 p + \lambda^2 - 1]} - \frac{e^{-\tilde{z}}}{[A_1 p + \lambda^2 - 1]} \right\}, \quad (13)$$

где  $p$  и  $\lambda$  – параметры преобразования Лапласа и Фурье. В результате инверсии  $\tilde{\theta}^{LF}$  [4] получаем искомый оригинал в виде свертки функций:

$$\tilde{\theta} = \frac{A_2}{A_1} \int_0^{\tilde{t}} f(\tilde{t} - \tau) \left\{ \left[ \operatorname{erf} \frac{\tilde{x} + a}{2\sqrt{\tau/A_1}} - \operatorname{erf} \frac{\tilde{x} - a}{2\sqrt{\tau/A_1}} \right] \cdot G_1(\tilde{z}, \tau) \right\} d\tau. \quad (14)$$

Отметим, что вычисление потенциалов  $\Phi$  и  $\Psi$  с помощью двойного интегрального преобразования связано с принципиальными математическими трудностями. Учитывая, что температурное поле убывает с ростом  $|\tilde{x}|$  ( $|\tilde{x}| \geq a$ ), решение трансформированного по Лапласу уравнения теплопроводности построено методом разделения переменных (разложение в ряд Фурье на интервале  $|\tilde{x}| \leq L$ ):

$$\tilde{\theta}^L = f^L A_2 \sum_{n=0}^{\infty} b_n \left\{ \frac{e^{-\tilde{z}\sqrt{A_1 p + \alpha_n^2}}}{\sqrt{A_1 p + \alpha_n^2} [A_1 p + \alpha_n^2 - 1]} - \frac{e^{-\tilde{z}}}{[A_1 p + \alpha_n^2 - 1]} \right\}, \quad (15)$$

где  $b_n = a/L, n=0$ ;  $2/\alpha_n L \sin(\alpha_n a), n \neq 0$  – коэффициенты разложения функции  $H(a - |\tilde{x}|)$  на интервале  $[-L; L]$   $a < L, \alpha_n = n\pi/L$ .

В пространстве оригиналов выражение (15) принимает вид:

$$\tilde{\theta} = \frac{A_2}{A_1} \sum_{n=0}^{\infty} b_n \cos(\alpha_n \tilde{x}) \int_0^{\tilde{t}} f(\tilde{t} - \tau) \left\{ e^{-\frac{\alpha_n \tau}{A_1}} \cdot G_1(\tilde{z}, \tau) \right\} d\tau, \quad (16)$$

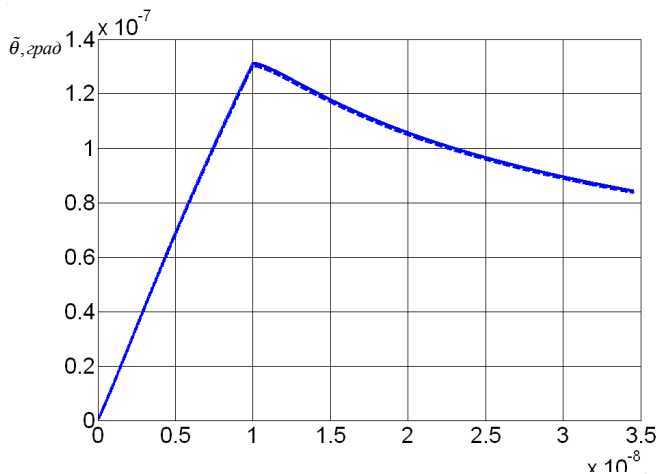


рис. 3

Графики полученные в результате расчетов по формулам (14) и (16) представлены на рис. 3, как видно они практически сливаются ( $\tilde{x} = 0, \tilde{z} = 1$ ).

Значение  $L_1$  выбиралось из условия, чтобы в заданном интервале времени  $\tilde{t} \in (0; T]$  уровень температуры в точках  $\tilde{x} = \pm L_1$  не превышал  $10^{-6} \cdot \tilde{\theta}(0, \tilde{z}, \tilde{t})$ . При этом отличие величин  $\tilde{\theta}$  рассчитанных по формулам (14) и (16), в области  $\tilde{x} \in [-L_1; L_1]$ , составляет менее 0,01%.

За время  $\tilde{t} < T$ , где  $T = L_2 - a$  волна сжатия, безразмерная скорость которой равна единице, не достигнет краев интервала  $\tilde{x} \in [-L_2; L_2]$ . Отметим, что у волны сдвига эта скорость меньше чем у волны сжатия ( $\tilde{c}_2 < 1$ ). Таким образом при  $L \geq \max(L_1, L_2)$  вблизи точек  $\tilde{x} = \pm L$  упругая среда находится в практически невозмущенном состоянии

Из вышеизложенного следует, что для заданного  $T$  в указанном интервале  $\tilde{x} \in [-L; L]$  применимо представление характеристик, возникающего в среде нестационарного волнового поля, в виде рядов Фурье. Такой подход существенно упрощает решение рассматриваемой задачи.

#### ЛИТЕРАТУРА

1. Коваленко А.Д. Термоупругость. Издательское объединение “Вища школа”, 1975. – 216 с..
2. Корнаухов В.Г. Тепловое разрушение полимерных элементов конструкций при моногармоническом деформировании // Прикладная механика. — 2004. — 40, №6. — с. 30-70.
3. Лямшев Л.М. Лазерное термооптическое возбуждение звука / Отв. Ред. В.И. Ильичев; АН СССР, Акустический институт им. Н.Н. Андреева — М.: Наука, 1989. — 237 с..
4. Бейтмен Г., Эрдейн А. Таблицы интегральных преобразований: В 2-х т. — М.: Наука, 1969. — Т.1. — 343 с.; — Т.2. — 328 с..
5. Таблицы физических величин. Справочник. / Под ред. акад. И.К.Кикоина. — М., Атомиздат, 1976, 1008 с..
6. Гузь А.Н., Головчан В.Т. Дифракция упругих волн в многосвязных телах. — К.: Наукова думка, 1972. — 254 с..